

УДК 612.015.1:612.357.71

М. С. Яременко, О. Н. Харламова

НСО₃⁻ АТФаза КЛЕТОК ЭПИТЕЛИЯ ЖЕЛЧНОГО ПУЗЫРЯ КРОЛИКА

Согласно данным целого ряда исследований, в клетках различных секреторных органов, таких как слизистая желудка [5, 10, 14, 15, 16], поджелудочная железа [19, 23], подчелюстная слюнная железа [9, 17], проксимальные почечные канальцы [2, 11], печень [6, 8]; кроме того в ткани селезенки, головного мозга и в эритроцитах [2, 3] находится НСО₃⁻ стимулируемая, Mg⁺⁺ зависимая АТФаза. Есть основания полагать, что наличие НСО₃⁻ АТФазы в секреторных клетках связано с ее участием в мембранным транспорте НСО₃⁻ [9, 15, 17, 19].

Поскольку в процессе концентрирования желчи [21] клетки эпителия желчного пузыря также осуществляют активный транспорт НСО₃⁻, то не исключено, что данная ферментная система содержится и в этих клетках.

Представляло интерес попытаться выявить наличие НСО₃⁻ стимулируемой АТФазы в клетках эпителия желчного пузыря.

Методика исследований

Исследования проведены на желчных пузырях кроликов. Удаленный пузырь разрезали, промывали несколько раз охлажденным буферным раствором (250,0 ммол/сахарозы, 2,5 ммол ЭДТА, 40,0 ммол три-НCl, 30,0 ммол гистидина, 2,4 ммол Na-дексихолата, pH 7,4) и помещали в этот же раствор, охлажденный до 0—2° С, на 10—15 мин. Затем со стенки пузыря производили соскоб слизистой с помощью стеклянного стайда, и ткань гомогенизировали в 2,0—4,0 мл раствора. 0,1—0,2 мл гомогената, содержащего 100—150 мкг белка, вносили в среду с 2,0 ммол АТФ, 2,0 ммол MgCl₂, 40,0 ммол три-НCl буфера (pH 7,4) и 20 ммол NaHCO₃ или NH₄HCO₃. Контролем служила среда, в которой ионы НСО₃⁻ отсутствовали. Смесь в объеме 1,5 мл инкубировали в течение 20 мин при 37° С. Реакцию останавливали добавлением к каждой пробе 1,5 мл 5% трихлоруксусной кислоты. В надосадочной жидкости определяли фосфор неорганический (Р_и) по методу Фиске [7], содержание белка — по Лоури [13].

В ряде опытов определяли также активность Na⁺, K⁺ АТФазы, используя две среды. Одна содержала 100 ммол Na⁺, 20 ммол K⁺ [4], а другая — 20 ммол Na⁺ при отсутствии K⁺ (последняя служила для определения активности НСО₃⁻ АТФазы).

Для изучения влияния оуабанина на активность НСО₃⁻ АТФазы его добавляли к инкубационной среде в дозах 1·10⁻⁴; 1·10⁻³ и 1·10⁻² моль. В ряде опытов в инкубационную среду вносили этакриновую кислоту, создавая концентрацию, равную 1·10⁻⁴; 3·10⁻⁴; 5·10⁻⁴; 1·10⁻³; 2·10⁻³ моль.

Результаты исследований

Результаты исследований показали, что в среде, содержащей 20 ммол Na⁺ и при отсутствии ионов K⁺, активность НСО₃⁻ АТФазы в клетках эпителия желчного пузыря кролика составляет 7,5, Na⁺, K⁺ АТФазы — 1,7 и Mg⁺⁺ АТФазы — 27,0 мкмоль Р_и/мг белка/ч. В среде, содержащей 100 ммол Na⁺, активность Na⁺, K⁺ АТФазы равнялась 10,8, а Mg⁺⁺ — 20,8 мкмоль Р_и/мг белка/ч.

Замена NaHCO_3 на NH_4HCO_3 . При замене Na^+ на NH_4^+ в инкубационной среде активность HCO_3^- -АТФазы снижалась на 42,7%, а активность Na^+, K^+ -АТФазы не выявлялась при этом (табл. 1).

pH оптимум. На рис. 1 показана зависимость активности (HCO_3^- , Mg^{++}), Mg^{++} и HCO_3^- -АТФаз от pH инкубационной среды. Видно, что наибольшая активность HCO_3^- -АТФазы проявляется при pH в интервалах 7,2–7,4 (рН оптимум для Mg^{++} -АТФазы равен 8,2).

Кинетические исследования. На рис. 2 приведены кривые, построенные по методу Лайнувера—Берка, характеризующие зависимость между обратными величинами активности HCO_3^- -АТФазы и концентраций АТФ в инкубационной среде. Расчеты показали, что в среде, содержащей

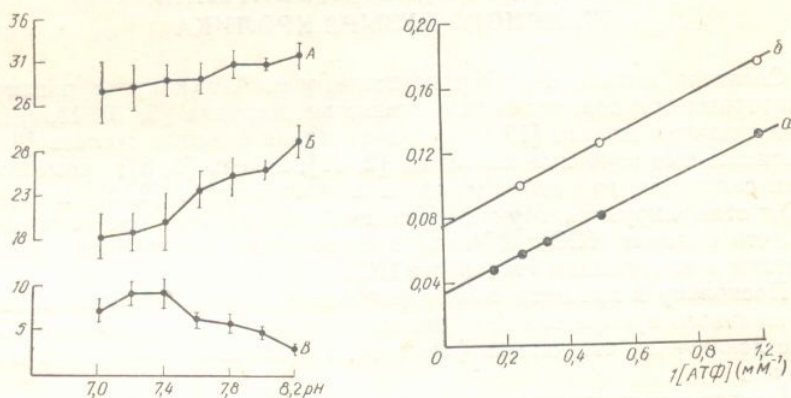


Рис. 1. Влияние рН инкубационной среды на активность (HCO_3^- , Mg^{++}), Mg^{++} и HCO_3^- -АТФаз в гомогенате клеток эпителия желчного пузыря кролика. Каждая точка является среднеарифметическим из пяти опытов. По вертикали — мкмоль $\text{P}_i/\text{мг}$ белка/ч; A — (HCO_3^- , Mg^{++}) АТФаза, B — HCO_3^- -АТФаза. По горизонтали — рН среды.

Рис. 2. Зависимость активности HCO_3^- -АТФазы от концентрации АТФ в инкубационной среде, построенная по методу Лайнувера—Берка. a — при инкубации гомогената в среде с 20 мкмоль NaHCO_3 , b — в среде с 20 мкмоль NH_4HCO_3 . По вертикали — 1/активность (мкмоль $\text{P}_i/\text{мг}$ белка/ч) $^{-1}$.

20 мкмоль NaHCO_3 , K_m для NaATF HCO_3^- -АТФазы равна 3,03 мкмоль. При полной замене ионов Na^+ на NH_4^+ величина K_m снижается до 1,43 мкмоль.

Влияние этакриновой кислоты и оуабаина. Проведенные нами исследования показали, что добавление этакриновой кислоты в инкубационную среду в дозах $1 \cdot 10^{-4}$; $3 \cdot 10^{-4}$; $5 \cdot 10^{-4}$; $1 \cdot 10^{-3}$ и $2 \cdot 10^{-3}$ моль приводит к снижению активности HCO_3^- -АТФазы соответственно на 9,7; 10,7; 37,8; 39,8 и 48,2% ее первоначальной величины; активность Mg^{++} -АТФазы увеличивается при этом на 5,8; 1,8; 13,3; 10,5 и 13,2%.

Добавление в среду инкубации оуабаина в дозах $1 \cdot 10^{-4}$; $1 \cdot 10^{-3}$ и $1 \cdot 10^{-2}$ моль не вызывает существенных изменений активности HCO_3^- и Mg^{++} -АТФаз (табл. 2, 3).

Обсуждение результатов исследований

Результаты исследований позволили выявить в клетках эпителия желчного пузыря кролика наличие HCO_3^- стимулируемой, Mg^{++} зависимой АТФазы, активность которой равна примерно активности Na^+, K^+ -АТФазы. Установлено также, что активность HCO_3^- -АТФазы зависит от

HCO_3^- -АТФаза клеток эпителия

концентрации Na^+ в инкубационной среде, активность HCO_3^- -АТФазы может быть обусловлена Na^+ из инкубационной среды. Na^+ - K^+ -АТФаза, которая может активировать АТФазы при инкубации в неактивированной среде, обладают активирующим действием их из инкубационной среды на ферментную систему. Анализ снижения активности Na^+, K^+ -АТФазы в инкубационной среде, активность которых на 22,6%. Однако, как в случае с ионами приводит к уменьшению активности АТФазы, снижение связано также с уменьшением активности Na^+ на HCO_3^- -АТФазу.

Таким образом, под влиянием оуабаина в среднем, на 1,43 мкмоль $\text{P}_i/\text{мг}$ белка/ч, активность АТФазы снижается на 35%, по сравнению с контролем.

Изменение активности (мкмоль $\text{P}_i/\text{мг}$ белка/ч) клеток эпителия желчного пузыря

АТФаза	n
HCO_3^-	4
Mg^{++}	4

Δ — среднеарифметическая разность инкубации гомогената в среде с 20 мкмоль NaHCO_3 и в среде с 20 мкмоль NH_4HCO_3 .

Влияние оуабаина и этакриновой АТФазы в гомогенате

Ингибитор	n
Оуабаин (моль)	
$1 \cdot 10^{-4}$	6
$1 \cdot 10^{-3}$	6
$1 \cdot 10^{-2}$	5
Этакриновая кислота (моль)	
$1 \cdot 10^{-4}$	5
$3 \cdot 10^{-4}$	4
$5 \cdot 10^{-4}$	5
$1 \cdot 10^{-3}$	9
$2 \cdot 10^{-3}$	6

концентрации Na⁺ в инкубационной среде. Так, при полной замене Na⁺ на NH₄⁺ и сохранении постоянной концентрации HCO₃⁻ в инкубационной среде, активность HCO₃⁻ АТФазы значительно снижается. Это снижение может быть обусловлено двумя причинами. Во-первых, удаление Na⁺ из инкубационной среды приводит к исчезновению активности Na⁺, K⁺ АТФазы, которая может суммироваться с активностью HCO₃⁻ АТФазы при инкубации в нормальных условиях. Во-вторых, Na⁺, возможно, обладают активирующим действием на HCO₃⁻ АТФазу, а удаление их из инкубационной среды приводит к снижению активности этой ферментной системы. Анализ полученных данных показал, что за счет снижения активности Na⁺, K⁺ АТФазы при замене Na⁺ на NH₄⁺ в инкубационной среде, активность HCO₃⁻ АТФазы может снижаться не более, чем на 22,6%. Однако, как видно из приведенных данных, такая замена ионов приводит к уменьшению активности на 42,7%. Следовательно, это снижение связано также с устранением эффекта активирующего влияния Na⁺ на HCO₃⁻ АТФазу.

Таким образом, под влиянием Na⁺ активность HCO₃⁻ АТФазы увеличивается, в среднем, на 1,5 мкмоль P_и/мг белка/ч, что составляет прирост на 35%, по сравнению с величиной ее активности в безнатриевом растворе.

Таблица 1

Изменение активности (мкмоль P_и/мг белка/ч) HCO₃⁻ и Mg⁺⁺ АТФаз в гомогенате клеток эпителия желчного пузыря кролика при замене Na⁺ на NH₄⁺ в инкубационной среде

АТФаза	n	АТФазная активность	Δ	p
HCO ₃ ⁻	4	7,5	-3,2±0,9	<0,001
Mg ⁺⁺	4	27,0	+1,7±1,1	<0,5

Δ—среднеарифметическая разность и стандартная ошибка между активностью АТФаз при инкубации гомогената в среде с 20 мкмоль NaHCO₃ и 20 мкмоль NH₄HCO₃; n—число опытов.

Таблица 2

Влияние ouabaina и этакриновой кислоты на активность (мкмоль P_и/мг белка/ч) HCO₃⁻ АТФазы в гомогенате клеток эпителия желчного пузыря кролика

Ингибитор	n	Контроль	Δ	p
Оуабайн (моль)				
1·10 ⁻⁴	6	6,9	-0,5±0,64	>0,5
1·10 ⁻³	6	6,9	+0,2±1,81	>0,5
1·10 ⁻²	5	6,9	-1,2±0,76	<0,1
Этакриновая кислота (моль)				
1·10 ⁻⁴	5	9,3	-0,9±0,35	<0,2
3·10 ⁻⁴	4	9,4	-1,0±0,57	<0,2
5·10 ⁻⁴	5	8,2	-3,1±0,63	<0,001
1·10 ⁻³	9	8,3	-3,3±0,45	<0,001
2·10 ⁻³	6	7,9	-3,8±0,78	<0,001

Наличие некоторой активности Na^+, K^+ АТФазы может быть обусловлено привнесением незначительного количества K^+ с клеточным гомогенатом в среду определения активности HCO_3^- -АТФазы. Поэтому, при расчете окончательной величины HCO_3^- -АТФазы следует производить коррекцию на значение активности Na^+, K^+ АТФазы в этой среде или угнетать ее добавлением в инкубационную среду оуабаина в дозе $1 \cdot 10^{-4}$ моль.

Таблица 3

Влияние оуабаина и этакриновой кислоты на активность (мкмоль $\text{P}_i/\text{мг белка}/\text{ч}$) Mg^{++} АТФазы в гомогенате клеток эпителия желчного пузыря кролика

Ингибитор	<i>n</i>	Контроль	Δ	<i>p</i>
Оуабайн (моль)				
$1 \cdot 10^{-4}$	6	18,5	$-0,3 \pm 0,70$	$>0,5$
$1 \cdot 10^{-3}$	6	18,5	$-0,6 \pm 0,81$	$>0,5$
$1 \cdot 10^{-2}$	5	18,5	$-3,3 \pm 2,74$	$<0,5$
Этакриновая кислота (моль)				
$1 \cdot 10^{-4}$	5	22,2	$+1,3 \pm 0,94$	$<0,2$
$3 \cdot 10^{-4}$	4	20,6	$+0,4 \pm 0,57$	$<0,5$
$5 \cdot 10^{-4}$	5	17,2	$+2,3 \pm 0,34$	$<0,001$
$1 \cdot 10^{-3}$	9	19,0	$+2,0 \pm 0,5$	$<0,001$
$2 \cdot 10^{-3}$	6	19,6	$+2,6 \pm 1,0$	$<0,001$

Анализ кинетических кривых, показывающих зависимость между обратными величинами активности HCO_3^- -АТФазы и концентраций АТФ в инкубационной среде, позволяет предположить, что в присутствии Na^+ , очевидно, уменьшается сродство фермента к субстрату. Молекулярный механизм этого явления требует, несомненно, специального изучения.

Опыты с применением ингибиторов показали, что HCO_3^- -АТФаза не изменяет своей активности под влиянием оуабаина, но достаточно чувствительна к этакриновой кислоте, которая является блокатором транспорта изотонической жидкости через эпителиальный барьер [12, 22].

Существует предположение, что в эпителиальных клетках имеется этакринчувствительный насос, который не является Na^+, K^+ АТФазой [12]. Это допущение основано на том, что скорость транспорта изотонической жидкости угнетается меньшей дозой этакриновой кислоты, чем активность Na^+, K^+ АТФазы. Так, этакриновая кислота в дозе $3 \cdot 10^{-4}$ моль тормозит скорость переноса изотонической жидкости из полости пузыря кролика на 50% [12], а для достижения такого же уровня торможения активности Na^+, K^+ АТФазы концентрация этакриновой кислоты должна быть увеличена до $5 \cdot 10^{-3}$ моль [20]. Как видно из полученных нами данных, этакриновая кислота вызывает снижение активности HCO_3^- -АТФазы на 50% уже в дозе $2 \cdot 10^{-3}$ моль. Это свидетельствует о более высокой чувствительности HCO_3^- -АТФазы к этакриновой кислоте, по сравнению с Na^+, K^+ АТФазой. Однако, этакриновую кислоту нельзя считать, по-видимому, специфическим ингибитором HCO_3^- -АТФазы, каковым, например, является оуабайн для Na^+, K^+ АТФазы, поскольку этакриновая кислота не вызывает полного торможения активности HCO_3^- -АТФазы.

Таким образом, в результате, что в клетках эпителия жестакрином стимулируемая, Mg^{++} зависимая АТФаза угнетается этакриновой кислотой.

Л

- Iващенко А. Г., Жубанова А. А. Вопросы мед. химии, 1976, 22, № 2.
- Иващенко А. Г., Рысколова С. И. Эритроциты крысы.— Вопросы мед. химии, 1976, 22, № 2.
- Иващенко А. Г., Жубанова А. А. Гомогенаты тканей крысы.— Биохимия, 1976, 41, № 10.
- Яременко М. С., Харламова О. Н. Транспорт изотонической жидкости в клетках и межклеточных пространствах. Биохимия, 1974, 78, № 11, с. 10.
- Blum A. L., Shah G., Pierre T. S. Effect of HCO_3^- .— Biochem. and biophys. acta, 1972, 266, p. 375—400.
- Fiske C. H., Subbarow Y. The Chem., 1925, 66, p. 375—400.
- Iritani N., Wells W. W. Studies on the enzyme system in rat liver lysosomes. J. Biol. Chem., 1958, 233, p. 1035—1042.
- Izutsu K. T., Siegel I. A. Microscopic studies on the distribution of HCO_3^- in the submandibular gland. J. Biol. Chem., 1965, 240, p. 1035—1042.
- Kasbekar D. K., Durbin R. P. Adenosine triphosphatase in the submandibular gland. J. Biol. Chem., 1965, 240, p. 1035—1042.
- Kinne-Saffran E., Kinne R. The border microvillus membranes of the intestinal epithelium. J. Physiol., 1974, 246, p. 751—753.
- Leyssac P. P., Frederiksen O. Adenosine triphosphatase in the intestinal epithelium. Copenhagen, 1974, p. 432—433.
- Lowry O. H., Rosenbrough N. J. Protein measurement with the Folin-Ciocalteu reagent. J. Biol. Chem., 1951, 193, p. 265—275.
- Narumi S., Kanno M. Effects of HCO_3^- on the activity of Na^+, K^+ -ATPase. J. Biol. Chem., 1972, 247, p. 625—630.
- Sachs G., Shah G., Strych A., Cope III. Distribution of HCO_3^- in the intestinal epithelium. J. Physiol., 1972, 266, N 3, p. 625—630.
- Sachs G., Mitch W. E., Hirshowitz B. J. The distribution of HCO_3^- in the intestinal epithelium. J. Physiol., 1965, 165, N 3, p. 1035—1042.
- Simon B., Kinne R., Knauf U. The distribution of HCO_3^- in the submandibular gland of the rabbit. Pflügers Arch., 1972, 361, p. 1035—1042.
- Simon B., Kinne R., Sachs G. The distribution of HCO_3^- in the intestinal epithelium. J. Physiol., 1972, 247, p. 625—630.
- van Os C. H., Slegers J. F. G. The distribution of HCO_3^- in the gall-bladder epithelium. Pflügers Arch., 1972, 361, p. 1035—1042.
- Wheeler H. O. Transport of electrolytes across the intestinal epithelium. Amer. J. Physiol., 1963, 205, p. 434—442.
- Whittembury G., Proverbio F. The distribution of HCO_3^- in the kidney cortex slices. Pflügers Arch., 1972, 361, p. 1035—1042.
- Wizemann V., Christian A. L. Enzymes in the acini and ducts of the pancreas. Pflügers Arch., 1972, 361, p. 1035—1042.

Отдел физиологии водно-солевого обмена Института физиологии им. А. А. Богомольца АН УССР, Киев

Таким образом, в результате проведенных исследований установлено, что в клетках эпителия желчного пузыря кролика имеется HCO₃⁻-стимулируемая, Mg⁺⁺ зависимая АТФаза, которая активируется Na⁺, ингибируется этакриновой кислотой и не чувствительна к оуабанину.

Л и т е р а т у р а

1. Иващенко А. Г., Жубанова А. А. HCO₃⁻-стимулируемая АТФаза почек крысы.— Вопросы мед. химии, 1976, 22, № 2, с. 258—260.
2. Иващенко А. Г., Рыскулова С. Г. Стимулируемая бикарбонатом АТФаза мембран эритроцитов крысы.— Вопросы мед. химии, 1975, 21, № 5, с. 492—494.
3. Иващенко А. Г., Жубанова А. А., Балмуханов Б. С. HCO₃⁻-стимулируемая АТФаза гомогенатов тканей крысы.— Биохимия, 1975, 40, № 5, с. 1091—1093.
4. Яременко М. С., Харламова О. Н. О механизме тормозящего действия окситоцина на транспорт изотонической жидкости эпителием желчного пузыря.— Бюл. эксперим. биол. и мед., 1974, 78, № 11, с. 10—11.
5. Blum A. L., Shah G., Pierre T. S. Properties of soluble ATPase of gastric mucosa. II. Effect of HCO₃⁻.— Biochem. and biophys. acta, 1971, 249, N 1, p. 101—113.
6. Fanestil D. D., Hastings A. B., Mahowald T. A. Environmental CO₂ stimulation of mitochondrial Adenosine Triphosphatase Activity.— J. Biol. Chem., 1963, 238, p. 836—843.
7. Fiske C. H., Subbarow Y. The colorimetric determination of phosphorus.— J. Biol. Chem., 1925, 66, p. 375—400.
8. Iritani N., Wells W. W. Studies on a HCO₃⁻-stimulated ATPase and carbonic anhydrase system in rat liver lysosomes.— Arch. Biochem., 1974, 164, p. 357—366.
9. Izutsu K. T., Siegel I. A. Microsomal HCO₃⁻-stimulated ATPase from the dog submandibular gland.— Biochem. and biophys. acta, 1972, 284, p. 478—484.
10. Kasbekar D. K., Durbin R. P. An Adenosine Triphosphatase from frog gastric mucosa.— Biochem. and biophys. acta, 1965, 105, N 3, p. 472—482.
11. Kinne-Saffran E., Kinne R. Presence of bicarbonate stimulated ATPase in the brush border microvillus membranes of the proximal tubule.— Proc. Soc. Exp. Biol. and Med., 1974, 146, p. 751—753.
12. Leyssac P. P., Frederiksen O. An alternative model for isotonic water transport.— In: Secretory mechanisms of exocrine glands. Ed. by N. A. Thorn, O. H. Petersen, Munksgaard, Copenhagen, 1974, p. 432—448.
13. Lowry O. H., Rosenbrough N. J., Farr A. L. e. a. Protein measurement with the Folin Phenol reagent.— J. Biol. Chem., 1951, 193, p. 265—275.
14. Narumi S., Kanno M. Effects of gastric acid stimulants and inhibitors on the activities of HCO₃⁻-stimulated, Mg⁺⁺-dependent ATPase and carbonic anhydrase in rat gastric mucosa.— Biochem. and biophys. acta, 1973, 311, p. 80—89.
15. Sachs G., Shah G., Strych A., Cline G. e. a. Properties of ATPase of gastric mucosa. III. Distribution of HCO₃⁻-stimulated ATPase in gastric mucosa.— Biochem. and biophys. acta, 1972, 266, N 3, p. 625—638.
16. Sachs G., Mitch W. E., Hirshowitz B. I. Frog gastric mucosal ATPase.— Proc. Soc. Exp. Biol. and Med., 1965, 119, N 4, 1023—1027.
17. Simon B., Kinne R., Knauf U. The presence of a HCO₃⁻-ATPase in glandula submandibularis of rabbit.— Pflügers Arch., 1972, 337, p. 177—184.
18. Simon B., Kinne R., Sachs G. The presence of a HCO₃⁻-ATPase in pancreatic tissue.— Biochem. and biophys. acta, 1972, 282, p. 293—300.
19. Simon B., Thomas L. HCO₃⁻-stimulated ATPase from mammalian pancreas. Properties and its arrangement with other enzyme activities.— Biochem. and biophys. acta, 1972, 288, p. 434—442.
20. van Os C. H., Slegers J. F. G. Characteristics of Na⁺, K⁺-stimulated ATPase in rabbit gall-bladder epithelium.— Pflügers Arch., 1970, 319, s. 49—56.
21. Wheeler H. O. Transport of electrolytes and water across wall of rabbit gall bladder.— Amer. J. Physiol., 1963, 205, p. 427—438.
22. Whittembury G., Proverbio F. Two modes of Na extrusion in cells from guinea pig kidney cortex slices.— Pflügers Arch., 1970, 316, s. 1—25.
23. Wizemann V., Christian A. L., Wiechmann J. e. a. The distribution of membrane bound enzymes in the acini and ducts of the cat pancreas.— Pflügers Arch., 1974, 347, S. 39—47.

Отдел физиологии водно-солевого обмена
Института физиологии им. А. А. Богомольца
АН УССР, Киев

Поступила в редакцию
1.VII 1977 г.

M. S. Jaremenko, O. N. Kharlamova

HCO₃⁻-ATPase OF RABBIT GALLBLADDER EPITHELIUM CELLS**Summary**

In homogenate of rabbit gallbladder epithelium cells HCO₃⁻ stimulated, Mg⁺⁺ dependent ATPase is found, the activity of which is on the average 7.5 μmol of Pi/mg of protein/h with incubation of homogenate in the potassium-free medium containing 20 mmol of NaHCO₃ and 2 mmol of MgCl₂. In the same medium the homogenate preserves an inconsiderable activity of Na⁺, K⁺ ATPase (1.7 μmol of Pi/mg of protein/h), that may be due to penetration of small amounts of K⁺ with cell homogenate into the medium. With incubation of cell homogenate in the medium optimal for Na⁺, K⁺ ATPase the activity of this enzymic system is 10.8 μmol of Pi/mg of protein/h. In experiments when Na⁺ is replaced by NH₄⁺ the activation effect of Na⁺ on HCO₃⁻ ATPase in the incubation medium was found. Ouabain in the concentrations of 1.10⁻⁴, 1.10⁻³ and 1.10⁻² mol has no effect on the activity of this enzymic system. Ethacrinic acid in the concentrations of 5.10⁻⁴—2.10⁻³ mol inhibits the activity of HCO₃⁻ ATPase, a degree of inhibition growing with the substance dose.

Department of Physiology of Water-Salt Metabolism,
A. A. Bogomoletz Institute of Physiology,
Academy of Sciences, Ukrainian SSR, Kiev

УДК 612.460

Е. И. Го

**О ЗНАЧЕНИИ АЛЬФА-А
В РЕГУЛЯЦИИ ЕІ
И МОЧЕОБРАЗОВ**

В многочисленных исследованиях воспроизведенное прессорное влияние (НА) на сосуды почек [5, 21], уретральной блокадой [14, 18].

Предпринимались попытки сегментарное сопротивление сосудов преимущественном их влиянию. Имеются сведения о преобладающем либо о равнозначном увеличении артериол [15]. Приводятся (0,05 мкг/кг) вызывают преумножение артериол, тогда как при введении кровотoku в сосудах почки и афферентных артериол, сопровождающих гломерулярного давления работ подчеркивается прямая залывочную фильтрацию и изменение об изменении диуреза без сопутствующего что говорит о возможности влияния цевого эпителия. При этом, одна из изменений концентрации антидиуретического гормона сопутствующим изменением сопротивления артериол, что определяется средственным влиянием катехоламинов задней доли гипофиза [9].

Указанные обстоятельства вопроса об удельном значении почечного кровотока, изменивших и отводящих сосудов клубочков, определяющих в конечной функции почки при α-адреномиметике.

Методы

Опыты проведены на 49 собаках (собаках венено).

Через боковой разрез забрюшинного и мочеточника. Системное артериально в бедренной артерии. Кровоток в почечного датчика электромагнитного расходометрии производилась на чернильной гемодинамики.

Из катетера, введенного в мочеточник, течение каждого 10 мин периода. Клубочков определялись методом очищения по эндо-